

曲ったみぞの中の粘性流 の数値計算

鉄道技研 川口 光年
小天 智

§1. はしがき

粘性流体の運動を記述する Navier-Stokes の方程式は非線型であるので、その解析的取り扱いは極めて困難である。したがって解析解は極めて限られた場合にしか得られていまい。しかし電子計算機の出現は、これまで事实上不可能に近かった Navier-Stokes の方程式の数値的解法を可能にし、Navier-Stokes の方程式の——ひいては粘性流体の運動の——性質を一步一步と明してゆくことが可能になった。

この研究は粘性流体の運動を数値解により明らかにして行こうとする一連の研究の一つとして、2次元管(みぞ)が直角に曲った場合に生じる粘性流体の運動を数値的に取り扱ったものである。

§2. 基礎方程式との差分化

計算の基礎となる Navier-Stokes の方程式は、次元のない形で

$$-\frac{\partial(\psi, \omega)}{\partial(x, y)} = \frac{1}{R} \Delta \omega \quad (2.1)$$

$$\Delta \psi = -\omega \quad (2.2)$$

$$\Delta \equiv \partial^2 / \partial x^2 + \partial^2 / \partial y^2 \quad (2.3)$$

で与えられる。ここに ψ , ω は流れの函数、速度で、
 R はレイノルズ数で

$$R = U_m H / \nu \quad (2.4)$$

で定義される。 $(U_m$: x 中の平均流速, H : x の幅, ν :動粘性係数)。

(2.1), (2.2)を差分化するために

Fig. 1 の様な configuration を
考えると、 f を x , y の任意の函
数として、微分が

$$\left(\frac{\partial f}{\partial x} \right)_o = \frac{m_2}{m_1(m_1+m_2)} f_A$$

$$- \frac{m_1}{m_2(m_1+m_2)} f_C$$

$$+ \frac{m_1 - m_2}{m_1 m_2} f_o$$

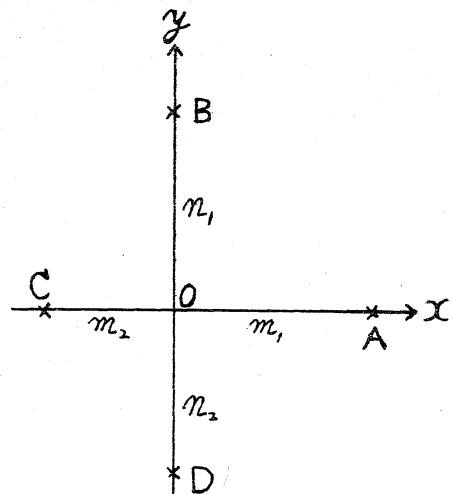


Fig. 1

$$(2.5)$$

$$\left(\frac{\partial f}{\partial y}\right)_o = \frac{n_2}{m_1(m_1+n_2)} f_B - \frac{n_1}{n_2(n_1+n_2)} f_D + \frac{n_1-n_2}{m_1 m_2} f_o$$

(2.6)

$$(\Delta f)_o = \frac{2}{m_1(m_1+n_2)} f_A + \frac{2}{m_2(m_1+n_2)} f_C$$

$$+ \frac{2}{n_1(n_1+n_2)} f_B + \frac{2}{n_2(n_1+n_2)} f_D$$

$$- \left(\frac{2}{m_1 m_2} + \frac{2}{n_1 n_2} \right) f_o \quad (2.7)$$

の様に差分化される。

S.3. 敷込計算(Xの1)

Fig.2 の様な2次元の管を考える(角をCEFの様に丸めた管はS.4で取り扱う)。

管の両端は曲り角より十分遠ければ途中では2次元のポアゼイエの流れになって

いると考えられるので、

AB, GH ではポアゼイエの流れであると假定する。

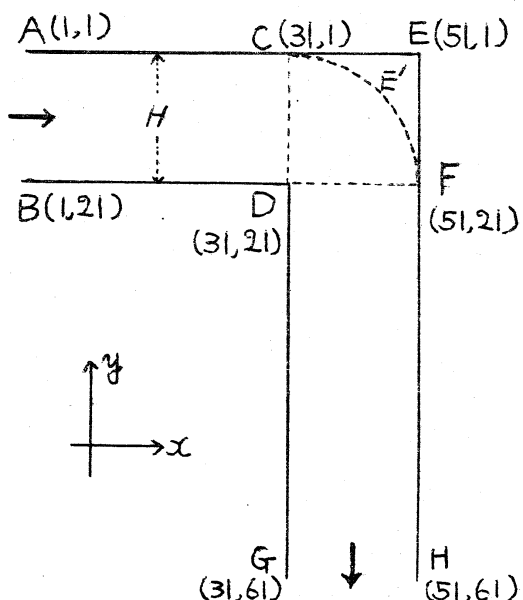


Fig. 2

実際の計算はABの幅Hを単位にとり、BD, DG をそれぞれ2, 3単位とった。格子点間隔として、AB, GH は向には $1/20$ 単位、BD, DG は向には $1/10$ 単位をとった。したがってABDC, DGHF 内では矩形網目、CDFE 内では正方形網目となつた。格子点の位置を示すのに (i, j) を用いたが、 i は x の方向に、 j は $-y$ の方向に数える(Fig. 2)。

実際に数値計算を行なつた手順は次の通り：

- (i) 初期データとしてポアセイユ流の値を使う。たゞし微分方程式の解ではなく差分方程式の厳密解を用いる。これはABDEC 内では

$$\left. \begin{aligned} \psi_{i,j} &= \frac{(j-2)(j^2-12j-190)}{4020} \\ w_{i,j} &= \frac{40}{67}(11-j) \end{aligned} \right\} \quad (3.1)$$

で与える。DGHFE 内においても同様な式を与える。

- (ii) AB, GH 上の ψ , w の値は (i) で与えた値から変らないと假定し、壁上では ψ が一定(1か0), ψ の垂直方向の微分を0とする。これは例えばAC上では温度を

$$w_{i,1}^{(k)} = w_{i,1}^{(k-1)} + K[800(1-\psi_{i,2}) - w_{i,1}^{(k-1)}] \quad (3.2)$$

で補正することに対応する。ここに上つきの (k) は k 番目の補

正位を示し、 K は over(under-) relaxation 節数である。

(iii) AB から出発して流れの方向に補正を進めて行くが、
AB DC の内部の点では、(2.1), (2.2) から (2.5) ~ (2.7) を使つ
て差分化した式

$$\begin{aligned} w_{i,j}^{(k)} = & w_{i,j}^{(k-1)} + K [0.1(w_{i+1,j} + w_{i-1,j}) + 0.4(w_{i,j+1} + w_{i,j-1}) \\ & + 0.05R \{(\psi_{i+1,j} - \psi_{i-1,j})(w_{i,j-1} - w_{i,j+1}) \\ & - (w_{i+1,j} - w_{i-1,j})(\psi_{i,j-1} - \psi_{i,j+1})\} - w_{i,j}^{(k-1)}] \end{aligned} \quad (3.3)$$

$$\begin{aligned} \psi_{i,j}^{(k)} = & \psi_{i,j}^{(k-1)} + K [0.1(\psi_{i+1,j} + \psi_{i-1,j}) + 0.4(\psi_{i,j+1} + \psi_{i,j-1}) \\ & + 0.001(w_{i,j} - \psi_{i,j}^{(k-1)})] \end{aligned} \quad (3.4)$$

を使う。CD 上, CDFE の内部点, DF 上, DGHF の内
部点についても同様な式を用ひる。

(iv) (iii) の操作を適当な収束がみられるまでくり返す。収
束を見るために領域内の 5 点 (15, 15), (27, 15), (27, 25),
(27, 35), (27, 45) の $\psi^{(k)}$, $w^{(k)}$ の値を前回の値 $\psi^{(k-1)}$, $w^{(k-1)}$
と比較し、補正の相対値(例えば $|w^{(k)} - w^{(k-1)}| / w^{(k-1)}$) が 10^{-5}
以下になった時に計算を止めた。

計算を遂行したのは第 1 表に示した場合である。

第 1 表

R	0	4	8	16	32	40	48
補正回数	239	243	184*	271	349*	617	490*
K	1.3	1.3	1.3	1.3	1.2	1.0	0.9

* $R = 8, 32, 48$ については、 X も X も $R = 4, 16, 32$ の結果を初期データとした。

§4. 数値計算(Ⅹの2)

外側の角を第2図の $C E F$ の様に円弧で丸くしたものについても同様な計算を行なった。

格子点は §3 の場合と同じにとったので、円弧上の点は必ずしも格子点とならぬ。例えば Fig. 3 の P 点では §3 でやった様な補正是きかない。そこで $\psi(X, Y)$ を O 点のまわりで展開し、

$$\begin{cases} \psi_0 = 1 \\ (\psi_x)_0 = (\psi_y)_0 = 0 \end{cases}$$

なる境界条件を用いると

$$\psi(X, Y) = 1 + \frac{1}{2} \left\{ X^2 (\psi_{xx})_0 + 2XY (\psi_{xy})_0 + Y^2 (\psi_{yy})_0 \right\} + \dots \quad (4.1)$$

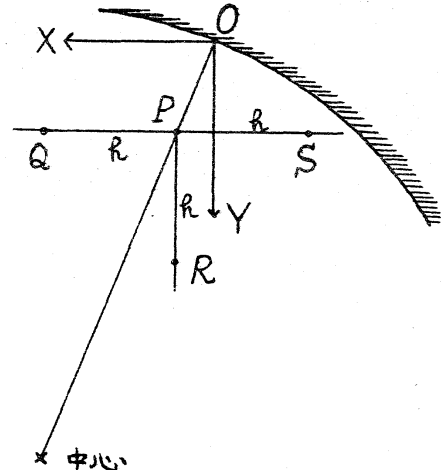


Fig. 3

となる。 $(\psi_{xx})_0$ 等を定数と考へ、(4.1) が Q, R, S の点で満足する様に定めれば、 P 点における ^{上の}補正係数が得られ、これから U に対する補正係数も得られる。Fig. 3 と異なる configuration についても同様な関係を用いた。その他は §3 と全く同様に行なった。

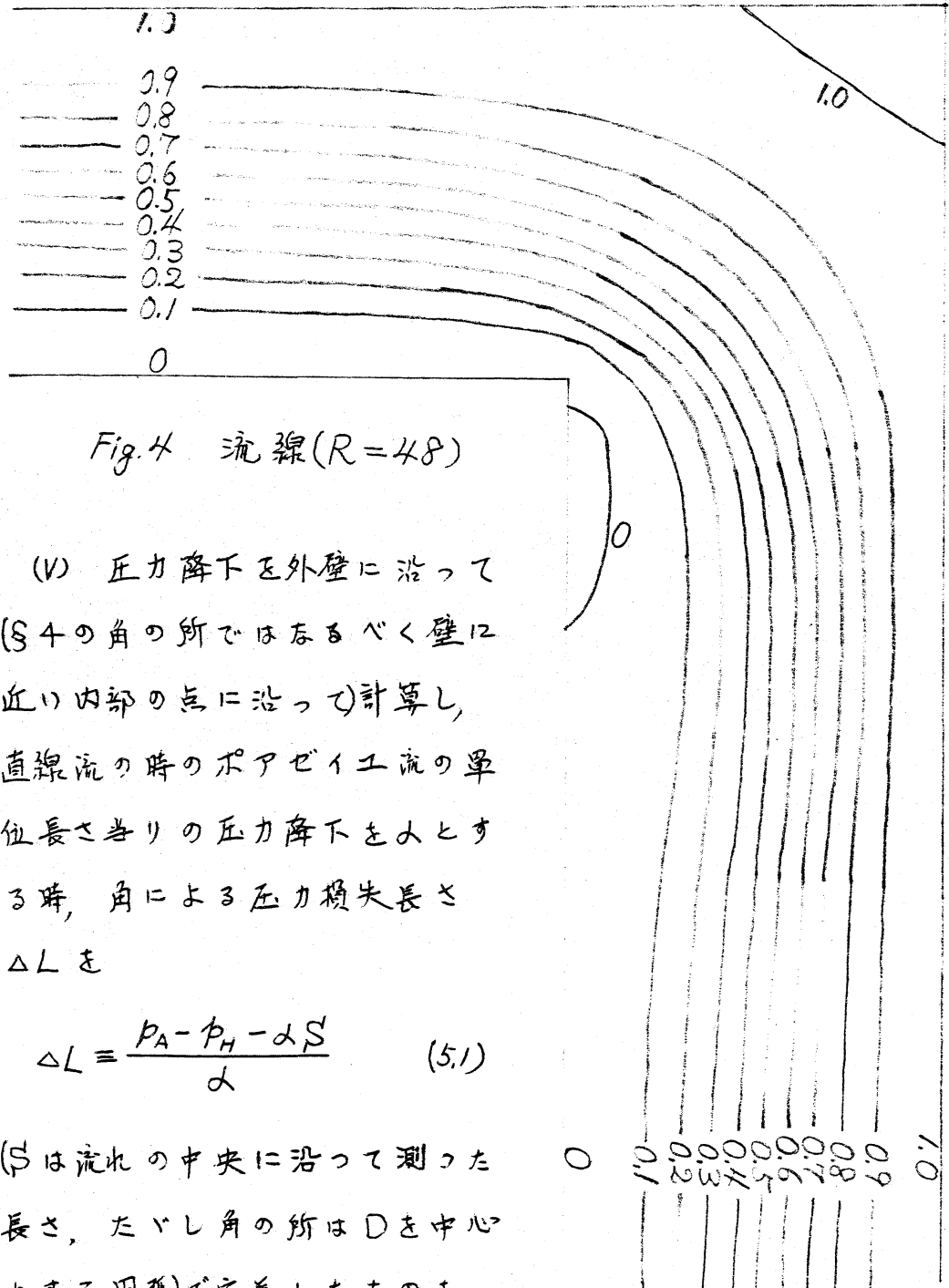
実際に計算を行なったのは第2表に示す場合である。

第2表

R	0	8	16	32	40	48
補正係数	206	237	251	381	585	730
K	1.3	1.3	1.3	1.2	1.0	0.9

§5. 結果

- (i) §3～4 の各場合について、流線、等温度曲線を画いた。Fig. 4～5. 12 その一例を示す。
- (ii) 逆流はどちらの場合も $R = 16$ ではあらわれてないが $R = 32$ では出現し、レイノルズ数と共に成長するが比較的小さい。
- (iii) $R = 0$ の場合でも §3 の場合には外側壁の角の内側に Moffatt の渦が一つだけ存在している。もっと小さいものは網目の粗さにかゝりかくされている様である。
- (iv) §3 と §4 とは流れの模様が非常によく類似している。



(V) 圧力降下を外壁に沿って
($\S 4$ の角の所ではなるべく壁に
近い内部の点に沿って計算し,
直線流の時のポアゼイエ流の單
位長さ当たりの圧力降下をみとす
る時, 角による圧力損失長さ
 ΔL を

$$\Delta L = \frac{P_A - P_H - \alpha S}{\alpha} \quad (5.1)$$

(S は流れの中央に沿って測った
長さ, たゞし角の所は D を中心
とする円弧で定義したものを
Fig. 6 に示した。 ΔL はレイノ

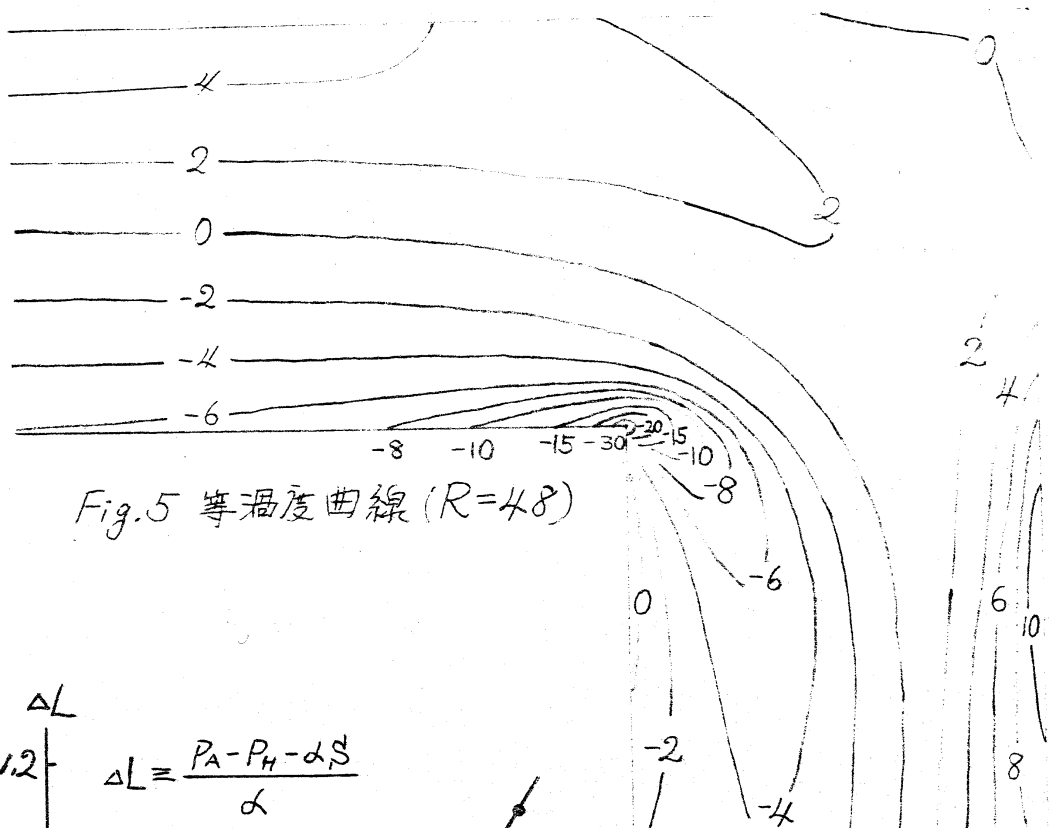
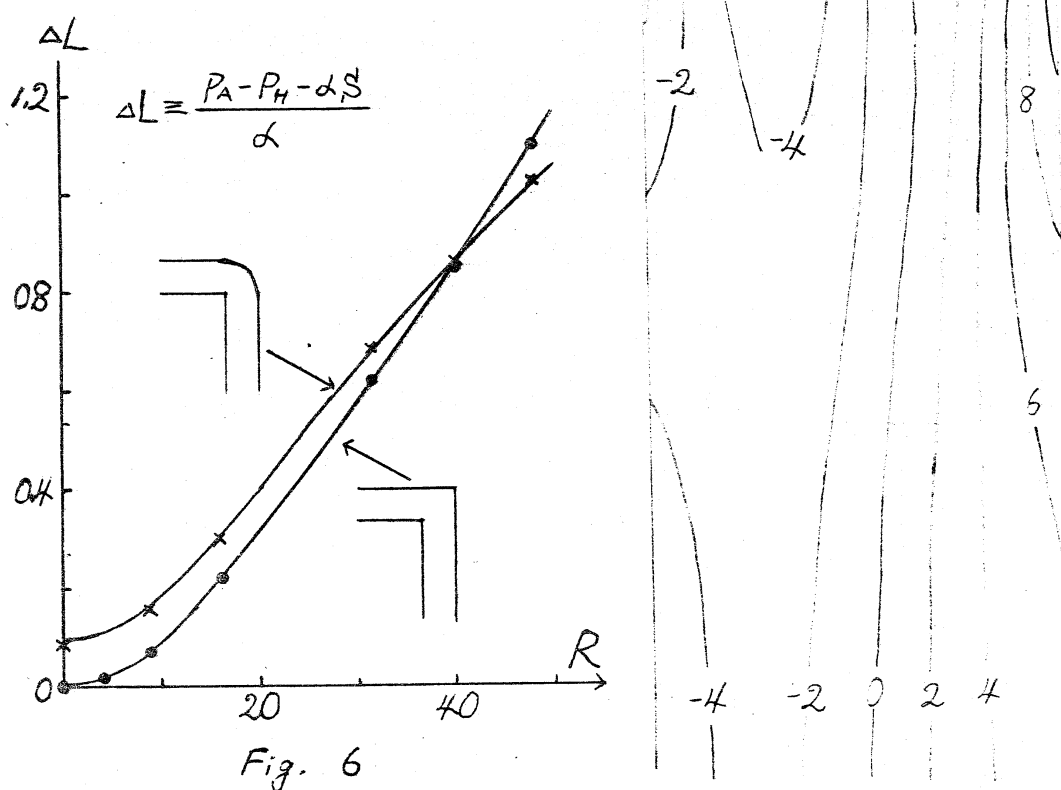
Fig. 5 等渦度曲線 ($R=48$)

Fig. 6

ルズ数と共に増加するが、角の外壁を丸めた場合は丸めない場合に比べて、低レイノルズ領域では損失が大きいか、高レイノルズ領域では損失が小さい。これは R が小さいうちは角を丸めないと流域が広く抵抗が小さいが、 R が大きくなると角を丸めた方が角を滑かに流れるのに抵抗が小さくなるのであろうと思われる。

(VI) $R=64$ の場合は k を 0.5 まで下げたが収束は得られなかつた。(under-relaxation 節数 k は 1.8 から出発し、解が発散すれば 0.1 ずつ小さくした)。また R が大きくなつた場合には下流側の管の長さをもっと長くとする必要があることが分つたので、 $R=64$ の場合の計算は断念した。

(1967.08.18 M.K.)